

بهینه‌سازی سیستم‌های کنترلی نیمه‌فعال در سازه فولادی جداسازی شده با در نظر گیری محدودیت فضای حرکتی تحت زلزله‌های حوزه نزدیک

آرش رایگانی^۱، غلامرضا نوری^{۲*}

۱- دانشجوی دکتری مهندسی عمران سازه، دانشگاه خوارزمی، تهران

۲- استادیار گروه مهندسی عمران دانشکده فنی و مهندسی دانشگاه خوارزمی، تهران

*تهران، صندوق پستی ۱۵۷۱۹۱۴۹۱۱، r.nouri@knu.ac.ir

(تاریخ دریافت: ۱۳۹۹/۰۵/۱۹، تاریخ پذیرش: ۱۳۹۹/۱۰/۰۸)

چکیده

مقدار بیشینه جابجایی تراز جdasازی در سازه‌های جdasازی شده یکی از معیارهای مهم برای دستیابی به یک طرح اقتصادی و فنی برای طراحی سیستم‌های جdasازی ساختمان‌ها می‌باشد. فضای خالی در نظر گرفته شده در اطراف سازه‌های جdasازی شده موجود ممکن است به دلایل مختلف از جمله تغییرات ضوابط لرزه‌ای، تغییر مشخصات لرزه‌ای منطقه و همچنین عدم قطعیت‌های موجود، برای حرکت آزادانه سازه جdasازی شده در هنگام زلزله کافی نباشد. از این رو لازم است در صورت نیاز با بکارگیری روشی کارآمد جابجایی‌های تراز جdasازی جهت جلوگیری از احتمال برخورد سازه کاهش یابد. هدف از این مقاله بکارگیری سیستم‌های کنترلی هوشمند در تراز جdasازی با الگوریتم کنترلی بهینه‌سازی شده برای کاهش جابجایی‌های تراز جdasازی با در نظر گیری فواصل مختلف برای فضای اطراف سازه جdasازی می‌باشد. در این پژوهش از میراگر نیمه‌فعال از نوع میراگرهای Magnetorheological با استفاده از الگوریتم فازی بهینه شده برای کنترل ولتاژ ورودی در یک سازه جdasازی شده با جdasازهای با میرایی زیاد استفاده شده است. نتایج نشان داده است الگوریتم کنترلی توانسته علاوه بر جلوگیری از برخورد سازه با مانع اطراف خود در زلزله‌های مختلف، پاسخهای لرزه‌ای در روسازه را بهبود بخشد. همچنین پراکندگی و میانگین پاسخهای لرزه‌ای روسازه در تابع چگالی احتمال توزیع لگاریتم نرمال در مقایسه با سازه بدون سیستم کنترلی هوشمند کاهش یافته است.

واژگان کلیدی

سازه‌های جdasازی، سیستم کنترل نیمه‌فعال، الگوریتم فازی، زلزله حوزه نزدیک

Optimization of a semi-active controlled isolated steel structure under near-field earthquake by considering gap size limitation

A. Rayegani, Gh.R. Nouri

Abstract

The maximum displacement at the buildings' isolated level is an important issue for designing an economical and practical isolation system. Due to various reasons such as uncertainties in the design, changes in estimated seismic characteristics, and changes in design codes, the considered gap size around the existing isolated structures may not be sufficient for having free movement during an earthquake. Therefore, it is necessary to reduce the isolated level displacements by using an efficient method to prevent the possibility of structural pounding. The purpose of this paper is to use a smart control system in the isolated level with the optimized fuzzy control algorithm to reduce based-level displacements by considering different gap sizes around the structure. In this research, the Magnetorheological damper with the optimized fuzzy logic algorithm is used at a based level of isolated structure with high damping isolators. The results show that the control system can improve the superstructure's seismic performance and prevent poundings. Also, the dispersion and average of seismic responses of the superstructure in the probability density function of responses are reduced compared to structures without smart control systems.

Keywords

Isolated building, Semi-active control system, Fuzzy logic control, Near-field earthquakes

۱- مقدمه

می‌شوند تا بتوانند جابجایی‌های تراز جداسازی را کاهش دهند. ممکن است در زلزله‌های ضعیف‌تر نیروهای بیش از نیاز سازه را ایجاد کنند که باعث افزایش پاسخ‌ها در روسازه شود. در مقابل سیستم‌های میراکننده انرژی هوشمند قادر هستند مشخصات رفتاری خود را متناسب با مشخصات زلزله و سازه و بر اساس الگوریتم کنترلی خود تنظیم نمایند. این نوع از سیستم‌ها بر مبنای نوع عملکرد خود به دو دسته کلی نیمه‌فعال و فعال تقسیم‌بندی می‌شوند. سیستم‌های کنترلی نیمه‌فعال به دلیل عدم نیاز به منع خارجی بزرگ انرژی و عدم احتمال ناپایداری در سازه به دلیل خطای نیروهای وارد از مقبوليت بيشتری در میان طراحان سازه برخودار بوده است [۱۰].

در اين تحقیق عملکرد میراگرهای نیمه‌فعال از نوع Magnetorheological (MR) با سیستم کنترلی الگوریتم فازی مورد ارزیابی قرار گرفته است. مشخصات الگوریتم فازی با در نظرگیری فواصل مختلف برای موانع حرکتی در اطراف ساختمان و بهینه‌سازی چند هدفه تعیین شده است. الگوریتم فازی متناسب با جابجایی و سرعت ایجاد شده در تراز جداسازی مقدار ولتاژ ورودی به میراگر را تنظیم نموده و بدین طریق میزان نیروی ایجاد شده در میراگر تنظیم خواهد شد. مشخصات رفتاری میراگر MR با استفاده از مدل Bouc-Wen در تحلیل‌ها مدل سازی شده است. پارامترهای مدل Bouc-Wen با استفاده از بهینه‌یابی ژنتیک الگوریتم با هدف تطبیق پاسخ‌های برآورده شده با نتایج آزمایشگاهی بدست آمده است. سازه مورد مطالعه یک ساختمان چهار طبقه بوده که با استفاده از جداسازهای الاستومری با میراگر اضافه شده، مطابق استانداردهای بین‌المللی شرح داده شده در بخش ۲، طراحی شده است.

۲- مدل سازه‌ای

سازه مورد مطالعه یک ساختمان سه بعدی چهار طبقه با ارتفاع طبقات $3/5$ متر می‌باشد که سیستم باربر جانبی آن قاب خمشی ویژه فلزی است. این ساختمان در پلان دارای دو دهانه شش متري در راستاي طولي و يك دهانه هشت متري در راستاي متعامد آن می‌باشد. مطابق شکل (۱) جداسازها در زير طبقه همکف قرار دارد و میراگر MR در وسط دیافراگم طبقه اول قرار گرفته است. بار مرده و زنده اين ساختمان به ترتيب برابر ۵ و $2/5$ کيلونيوتن بر متر مربع در نظر گرفته شده است. ساختمان بدون در نظر گيري اثر میراگرها و مطابق با استانداردهای ۱۶-۳۶۰ AISC [۱۱] و ۱۶-۷ ASCE [۱۲] طراحی

سیستم‌های جداسازی یکی از بهترین روش‌های کنترلی جهت کاهش خسارت‌های لرزه‌ای در سازه‌ها می‌باشند که در سال‌های اخیر استفاده از آنها در کشورهای مختلف از جمله ایران رو به افزایش بوده است. عملکرد مطلوب سازه‌های جداسازی تحت زلزله‌های حوزه دور در تحقیقات بسیار و همچنین زلزله‌های واقعی متعدد نشان داده شده است. در مقابل در زلزله‌های حوزه نزدیک به خصوص زلزله‌های دارای پالس‌های بلند به دلیل محتوای فرکانسی خاص خود و احتمال نزدیک شدن پریود غالب زلزله به پریود سیستم جداسازی، امکان ایجاد جابجایی‌های زیاد در تراز جداسازها وجود دارد [۱] و [۲]. همچنین این امکان وجود دارد که فضای خالی در اطراف سازه‌های جداسازی شده موجود به دلایل مختلف از جمله تغییرات ایجاد شده در آئین‌نامه، خطاهای ساخت و یا تعییرات در مشخصات لرزه خیزی منطقه برای حرکت آزاد سازه کافی نباشد. از این رو لازم است احتمال برخورد سازه جداسازی شده به موانع اطراف خود به روشنی مناسب از میان برداشته شود. برخورد و ضربه در هنگام زلزله می‌تواند آسیب‌های جدی به سازه وارد نماید [۳-۵]. به عنوان یک نمونه در سال ۱۹۹۴ لس‌آنجلس در هنگام زلزله با مانع بتنی مجاور خود برخورد نمود و خسارت‌هایی به سازه آن وارد شد [۶]. برخورد دو سازه در هنگام زلزله در سازه‌های بدون جداساز در تحقیقات مختلف بررسی شده و نمونه‌های مختلف آن در زلزله‌های واقعی مشاهده شده است. این برخوردها می‌تواند به شدت بر روی رفتار سازه تاثیر گذاشته و عملکرد آن را با مشکل مواجه نماید [۷] و [۸]. از این رو یکی از چالش‌های اصلی در طراحی سیستم جداسازی، به خصوص در نواحی حوزه‌های نزدیک گسل زلزله، محدود کردن جابجایی جداسازها برای دستیابی به طرحی اجرایی و اقتصادی می‌باشد. افزایش سختی جداسازها جهت کاهش جابجایی تراز جداسازی با فلسفه کلی عملکرد جداسازها در تضاد بوده و عملکرد مورد انتظار جداسازها را تضعیف می‌نماید. بکارگیری سیستم‌های میراکننده انرژی در تراز جداسازی و در کنار جداسازها یکی از روش‌های متدائل جهت کاهش جابجایی‌های کلی سازه می‌باشد. سیستم‌های کنترلی غیر فعال مانند میراگرهای ویسکوز در بسیاری از سازه‌های جداسازی شده در سراسر جهان از جمله ژاپن و آمریکا در تراز جداسازی جهت کاهش جابجایی کلی سازه بکار رفته‌اند [۹]. سیستم‌های میراگر غیر فعال که بطور معمول برای زلزله‌های شدید طراحی



الاستومری با میرایی زیاد با استفاده از مدل Kikuchi و همکارانش [۱۴] مدل سازی شده‌اند. رفتار میراگر MR با استفاده از مدل Bouc-Wen که جزئیات آن در بخش بعد اشاره شده است، در نرم افزار MATLAB [۱۵] مدل سازی شده و مقدار نیروی میراگر در هر گام زمانی از تحلیل با ایجاد یک شبکه ارتباطی با نرم افزار OpenSees بر مدل سازه ای اعمال شده است.

زلزله‌های حوزه نزدیک دارای پالس‌های بلند سرعت به دلیل نزدیکی پریود غالب پالس با پریود سیستم جدادسازی تاثیر زیادی بر عملکرد سازه‌های جدادسازی می‌توانند داشته باشند. با توجه به محاسبات سنگین مورد نیاز برای بهینه سازی، در اینجا از بین زلزله‌های پیشنهادی FEMA P695 [۱۶] برای حوزه نزدیک سه زلزله که بیشترین پاسخ‌ها را در سازه مورد بررسی ایجاد می‌کنند استفاده شده است. مشخصات این رکوردهای حوزه نزدیک دارای پالس بلند در جدول (۱) آورده شده است.

جدول ۱- مشخصات رکوردهای لرزه‌ای

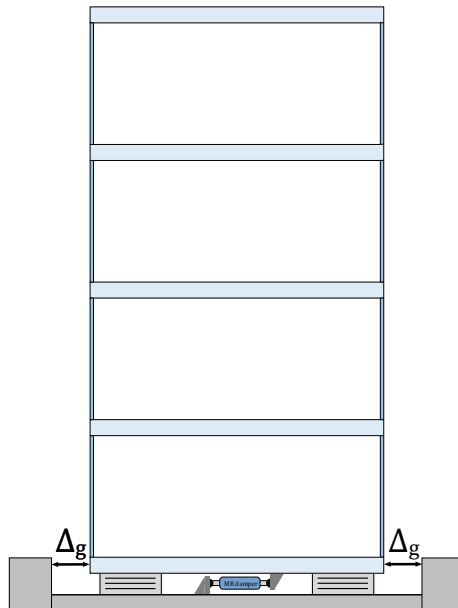
شماره NGA	کانون زلزله	سال	نام مرکز ثبت	بزرگی
۱۸۲	Imperial_Valley -06	۱۹۷۹	El_Centro_Array_#7	۶/۵۳
۷۲۳	Superstition_Hills-02	۱۹۸۷	Parachute_Test_Site	۶/۵۴
۱۰۶۳	Northridge-01	۱۹۹۴	Rinaldi_Receiving_Sta	۶/۶۹

با هدف اینکه میزان اثر فاصله مانع حرکتی در زلزله‌ای مختلف برای سازه یکسان باشد، فاصله مانع حرکتی به نسبتی از بیشینه جابجایی ایجاد شده در هر زلزله در نظر گرفته شده است. در جدول (۲) مقدار جابجایی بیشینه سازه جدادسازی شده در تراز جدادسازی (DE) و فواصل در نظر گرفته شده برای مانع حرکتی (Δg) در هر زلزله ارائه شده است. در این پژوهش فرض شده است مانع حرکتی در فاصله ۰/۶ و ۰/۸ برابر جابجایی حداقل سازه جدادسازی باشند.

۳- مدل سازی میراگر

برای مدل سازی رفتار میراگر MR مدل‌های مختلفی ارائه شده است که در اینجا از مدل Simple Bouc-Wen به جهت توانایی خوبی که در مدل سازی رفتار میراگر در ولتاژهای مختلف دارد استفاده شده است. این مدل توانایی خوبی در مدل سازی رفتاری غیر خطی دارد و از آن در تحقیقات متعدد استفاده شده است [۱۷]. در شکل (۲) مکانیزم کلی این مدل نشان داده شده

شده است. در طراحی، فرض شده است که نوع خاک سازه از نوع C با سطح خطر نوع ۳ باشد. طیف MCER مورد استفاده برای طراحی روسازه دارای $SMS=1/۰۷g$ و $SMI=1/۳۶g$ بوده و ضریب رفتار روسازه برابر ۲ در نظر گرفته شده است. شش جدادساز الاستومری با میرایی زیاد در زیر ستون‌ها از یک نوع با قطر ۷۰۰ میلی‌متر و ارتفاع لاستیک ۲۰۰ میلی‌متر با مدول برشی ۰/۶۲ مگاپاسکال قرار گرفته است. سختی قائم جدادسازها و سختی جانبی معادل آنها در کرنش ۱۰۰٪ به ترتیب برابر ۱۱۸۰×۱۰^۳ کیلونیوتن بر متر و ۲۶۶۰×۱۰^۳ کیلونیوتن بر متر می‌باشد. مقاطع تیرها در دهانه‌های بلند W21×93 و در دهانه‌های کوتاه‌تر W21×122 و مقطع ستون‌ها در دو طبقه پایین W14×176 و دو طبقه بالا W14×145 در نظر گرفته شده است. همانطور که در شکل (۱) دیده می‌شود دو مانع حرکتی در هر دو سمت سازه قرار داده شده است. فواصل این مانع به نسبت بیشینه جابجایی سازه در هر زلزله در نظر گرفته شده است. همچنان، راستایی از رکوردهای لرزه‌ای که در آن پالس‌های سرعت وجود دارد در جهت برخورد سازه در نظر گرفته شده است.



شکل ۱- سازه چهار طبقه جدادسازی شده مجهز به میراگر MR

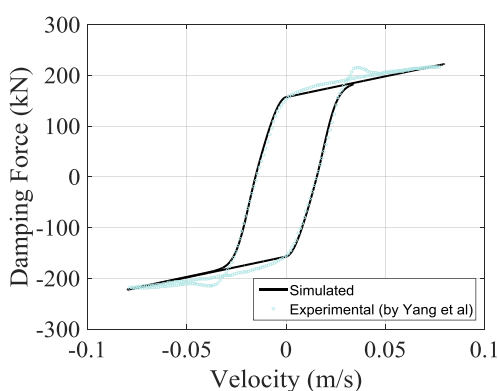
برای انجام تحلیل‌های غیرخطی تاریخچه زمانی از نرم افزار OpenSees [۱۸] استفاده شده است. رفتار المان‌های تیر و ستون‌ها به صورت غیرخطی در تمام طول المان با استفاده از المان غیرخطی Nonlinearbeamcolumn و جدادسازهای

است. مقادیر بدست آمده از بهینه سازی در جدول (۳) آورده شده است. در این بهینه سازی اختلاف نتایج حاصل از مقادیر شبیه سازی و آزمایشگاهی به عنوان تابع هدف در نظر گرفته شده است. در اینجا از نتایج آزمایش انجام شده بر روی میراگر MR که توسط Yang و همکارانش [۱۸] که تحت ولتاژ های مختلف انجام شده استفاده شده است.

جدول ۳- مقادیر بدست آمده از بهینه سازی برای متغیرهای رابطه Bouc-Wen

مقدار	متغیرها	مقدار	متغیرها
۶۶۲۷ N/m	k_{0a}	۱۲۱۶۶ N/m	α_a
۹۴۹۸ N/m/v	k_{0b}	۱۴۸۱۹۸۲ N/m/v	α_b
۷۴	A_m	۵۰۷۶۴ N.s/m	c_{0a}
۱/۹۶	n	۳۸۶۷۹۱ N.s/m/v	c_{0b}
۲۵۴۹۳ m ⁻²	γ	۸۳ m ⁻²	β
-	-	-۱۶۱ N	F_0

آزمایش های انجام شده بر روی میراگر تحت ولتاژ های $A=1$ و $A=2$ بوده است و شاخص هدف بهینه سازی به طور همزمان مطابقت نتایج مدل سازی در هر چهار ولتاژ را در بر گرفته است.



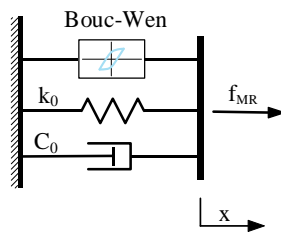
شکل ۳- مقایسه منحنی نیرو- سرعت محاسبه شده با استفاده از مدل Bouc-Wen و نتایج بدست آمده از آزمایش میراگر

به عنوان نمونه همانطور که در شکل (۳) نشان داده شده است مدل Bouc-Wen با پارامترهای بدست آمده از بهینه سازی، رفتار میراگر را در مقایسه با نتایج آزمایشگاهی تحت ولتاژ $A=2$ نشان داده است. همانطور که در این شکل مشخص است نتایج بدست آمده مطابقت خوبی با نتایج آزمایشگاهی داشته و

جدول ۴- بیشینه جابجایی تراز جداسازی و فاصله در نظر گرفته شده برای موانع حرکتی

حالات:	حالات:	جابجایی بیشینه در تراز جداسازی (mm)	زلزله
$\Delta g/DME = +0/6$ (mm)	$\Delta g/DME = +0/8$ (mm)	۲۱۶	Imperial_Valley
۱۳۰	۱۷۳	۳۳۲	Northridge
۱۹۹	۲۶۵	۳۰۳	Superstition_Hills
۱۸۲	۲۴۲		

است که از ترکیب میراگر ویسکوز، یک فنر خطی و المان Bouc-Wen تشکیل شده است. برای دستیابی به دقت قابل در شبیه سازی رفتار میراگر لازم است ضرایب معادلات رفتاری این مدل با استفاده از بهینه سازی جهت تطبیق نتایج آزمایشگاهی با نتایج محاسباتی بدست آید.



شکل ۴- مدل Bouc-Wen ساده برای شبیه سازی رفتار میراگر

معادله حاکم بر این مدل به صورت زیر خواهد بود:

$$f_{MR}(\dot{x}, z_{MR}) = c_0 \dot{x} + k_0 x + \alpha z_{MR} + f_0 \quad (1)$$

$$\dot{z}_{MR} = -\gamma z_{MR} |\dot{x}| |z_{MR}|^{n-1} - \beta \dot{x} |z_{MR}|^n + A_m \dot{x} \quad (2)$$

در این رابطه n ، γ ، β و A پارامترهای ثابت می باشند که با استفاده از نتایج آزمایشگاهی بدست می آیند. \dot{x} سرعت در محل میراگر و k_0 ، c_0 و α_0 پارامترهای وابسته به ولتاژ ورودی که به صورت رابطه (۳) و (۴) بیان شده اند.

$$\alpha_0 = \alpha_a - \alpha_b u \quad (3)$$

$$c_0 = c_a + c_b u \quad (4)$$

$$k_0 = k_a + k_b u \quad (5)$$

از بهینه سازی ژنتیک الگوریتم با هدف شبیه سازی رفتار میراگر استفاده شده است که در آن یازده ضریب ثابت رابطه Bouc-Wen به عنوان متغیرهای بهینه سازی در نظر گرفته شده



با تحلیل‌های سعی و خطا تعیین شده و در پروسه بهینه‌سازی ثابت در نظر گرفته شده‌اند.

از اختلاف کم در ناحیه سرعت پایین آن چشم پوشی شده است.

جدول ۴- قوانین منطق فازی

جابجایی					سرعت
PL	PM	Z	NM	NL	
S	S	M	L	VL	NL
M	M	S	L	VL	NM
L	Z	Z	Z	L	Z
VL	L	S	M	M	PM
VL	L	M	S	S	PL

۵- نتایج تحلیل

با توجه به توضیحات ارائه شده در رابطه با نحوه مدل سازی و فرضیات در نظر گرفته شده در تحقیق، در این بخش نتایج حاصل از بررسی‌های صورت گرفته پیرامون عملکرد سیستم جداساز نیمه‌فعال مجهر به میراگر MR با الگوریتم فازی بهینه شده در مقایسه با سیستم‌های غیر فعال ارائه شده است. در ابتدا سازه جداسازی شده مجهر بدون سیستم کنترلی تحلیل شده و جابجایی‌های حداقل ایجاد شده در تراز جداسازی برای هر رکورد محاسبه شده و فواصل موانع حرکتی بر اساس آنها تعیین شده است. سپس سازه جداسازی شده به سیستم میراگر MR مجهر شده و الگوریتم فازی با در نظرگیری دو شاخص جابجایی نسبی طبقات و شتاب طبقات بهینه شده است.

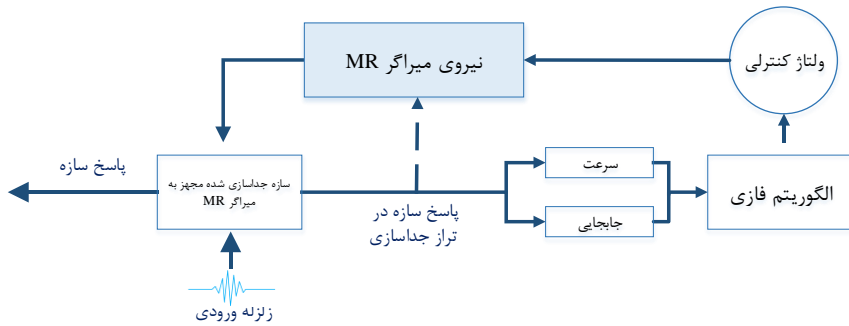
در پروسه بهینه‌سازی مشخصات توابع عضویت به عنوان متغیرهای تصمیم‌گیری، بنحوی تغییر کرده‌اند که در جابجایی‌های حداقل که سازه در حال دور شدن از نقطه اولیه خود می‌باشد مقدار نیروی میراگر بیشینه و در مسیر برگشت سازه به حالت اولیه خود نیروی میراگر کاهش یابد. در شکل (۵) زیر نمونه‌ای از رویه منطق فازی بهینه شده نشان داده شده است. نیروی میراگر MR بر اساس مقدار ولتاژ ورودی و تغییراتی که در مشخصات ماده ویسکوز درون آن ایجاد می‌شود متناسب با نیاز سازه تغییر می‌نماید. در شکل (۶) نمودار تاریخچه زمانی سرعت و جابجایی در تراز جداسازی و همچنین مقدار ولتاژ ورودی به میراگر که از fuzzy surface در هر گام زمانی بدست آمده است و نیروی میراگر MR برای زلزله Northridge نشان داده شده است. همانطور که مشخص است مقدار ولتاژ ورودی که بر اساس دو مقدار سرعت و جابجایی تراز جداسازی تغییر می‌کنند در زمان حدود ۳ ثانیه که مقدار جابجایی در جداسازها به حداقل مقدار خود نزدیک می‌شود، به بیشترین مقدار خود رسیده است که در نتیجه مقدار نیروی

۴- منطق فازی

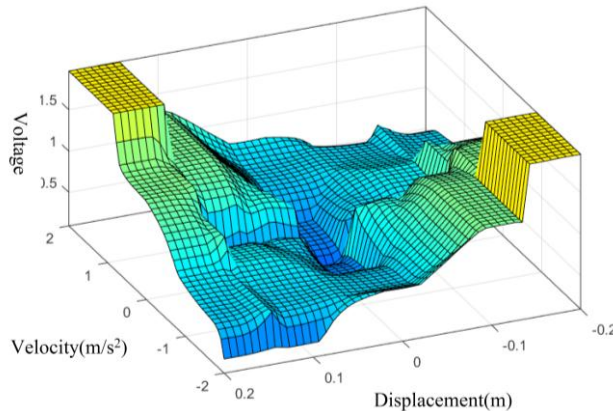
در میراگرهای MR مشخصات ماده ویسکوز بکار رفته در داخل آن به واسطه ولتاژ ورودی تغییر می‌نماید. این ولتاژ ورودی باید بر اساس نیاز سازه و بوسیله یک الگوریتم کنترلی در هر لحظه تعیین و به سیستم ارسال شود. الگوریتم‌های کنترلی متداول برای تصمیم‌گیری و کاهش پاسخ‌های سازه نیاز به مدل‌های ریاضی پیچیده و دقیق منطبق بر مشخصات سازه دارد. با توجه به اینکه در سازه‌های ساختمانی بدست آوردن مدل‌های ریاضی منطبق بر مشخصات ساختمان دارای پیچیدگی‌های بسیار بوده و همچنین این مشخصات ممکن است در هنگام زلزله دچار تغییر شوند. روش‌های فازی توسط Zadeh [۱۹] در سال ۱۹۶۵ ارائه شده است. این روش این امکان را فراهم می‌کند تا با یک ساختار محاسباتی بتواند در فضای عدم قطعیت تصمیم‌گیری صورت گیرد. برخلاف منطق کلاسیک که رویدادهای محیطی را به صورت مطلق بیان می‌کنند، در صورت تعلق به مجموعه برابر یک و در غیر این صورت صفر، در منطق فازی مجموعه‌ها به صورت مطلق بیان نمی‌شوند و در واقع مرز مشخص برای مجموعه لحاظ نمی‌شود و به صورت نسبی می‌باشد [۲۰]. در این تحقیق از منطق فازی در سیستم نیمه‌فعال استفاده خواهد شد. بکارگیری منطق فازی به عنوان سیستم کنترلی در مطالعات بسیاری مورد توجه محققین قرار گرفته است [۲۱-۲۳]. در اینجا نیز برای تنظیم ولتاژ ورودی میراگرهای MR از الگوریتم فازی استفاده شده است. بهینه‌سازی مشخصات مربوط به این الگوریتم با استفاده از بهینه‌سازی ژنتیک الگوریتم دو هدفه با در نظرگیری شتاب و جابجایی نسبی بیشینه طبقات بدست آمده است. پس از چند بررسی اولیه، سرعت و جابجایی تراز جداسازی به عنوان متغیرهای تصمیم‌گیری در الگوریتم فازی و تعیین ولتاژ ورودی سیستم استفاده شده است. در شکل (۴) حوزه‌ی عملکرد سیستم کنترلی نیمه‌فعال با الگوریتم کنترلی فازی نشان داده شده است. برای ورودی و خروجی الگوریتم فازی از ۵ تابع عضویت zero، positive medium، positive large و negative small متشابه با اسامی zero، positive medium، positive large and negative small در جدول (۴) مشخص شده، استفاده شده است.

در پروسه بهینه‌سازی مشخصات هندسی توابع عضویت، با حفظ تقارن، به عنوان متغیر در پروسه بهینه‌سازی در نظر گرفته شده است. قوانین حاکم در منطق فازی بر اساس دید تجربی و

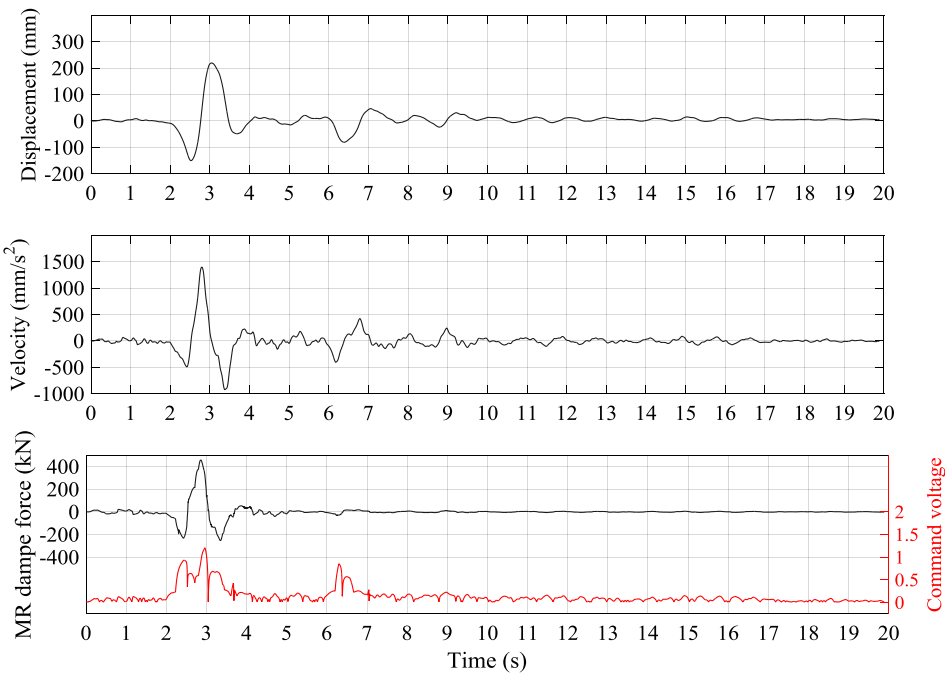
میراگر نیز به تبع آن افزایش یافته است.



شکل ۴- شکل شماتیک از نحوه عملکرد سیستم جداساز نیمهفعال با سیستم کنترلی



شکل ۵- رویه منطق فازی بهینه شده

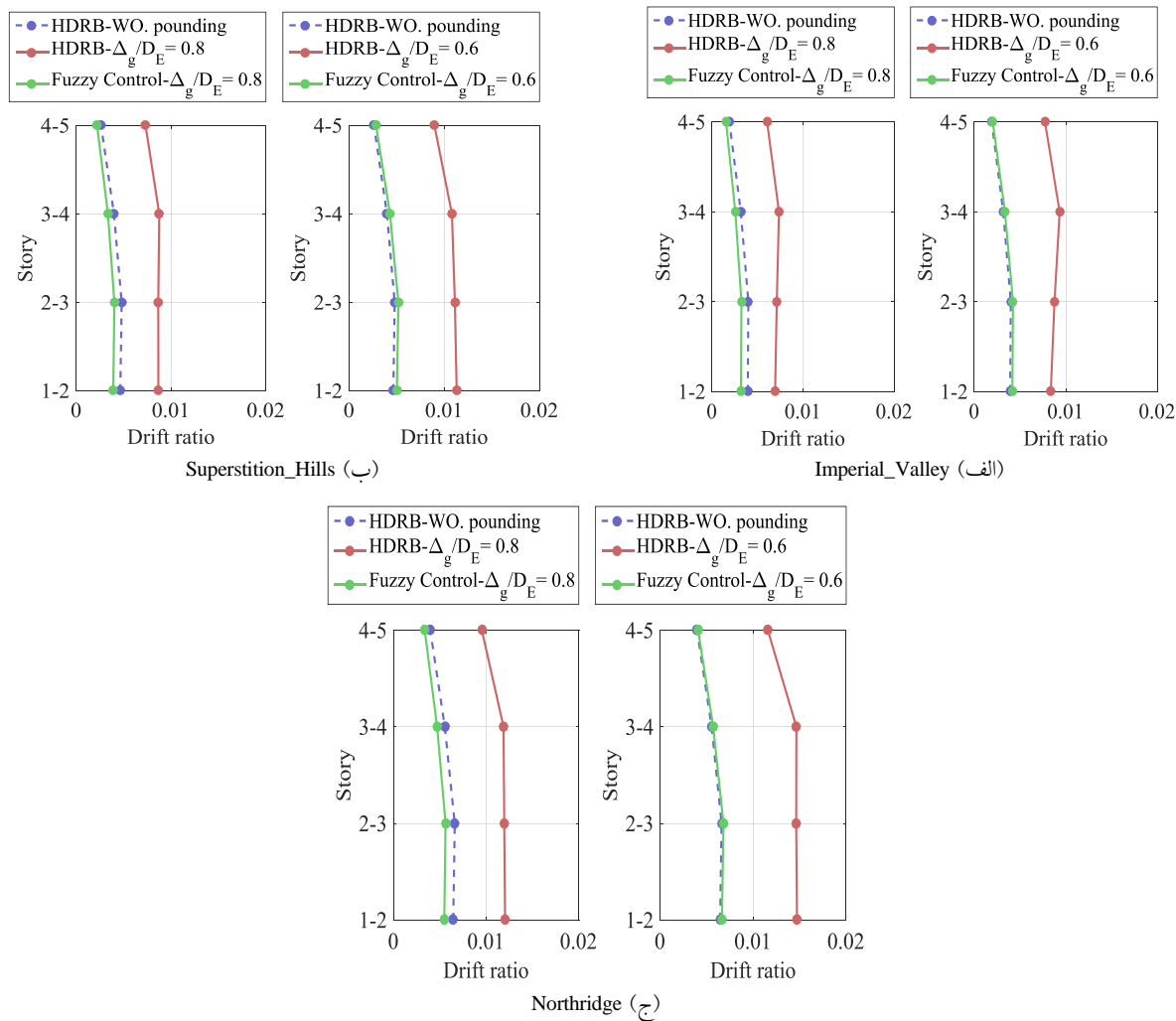


شکل ۶- نمودار تاریخچه زمانی سرعت و جابجایی در تراز جداسازی شده، ولتاژ ورودی و نیروی میراگر MR

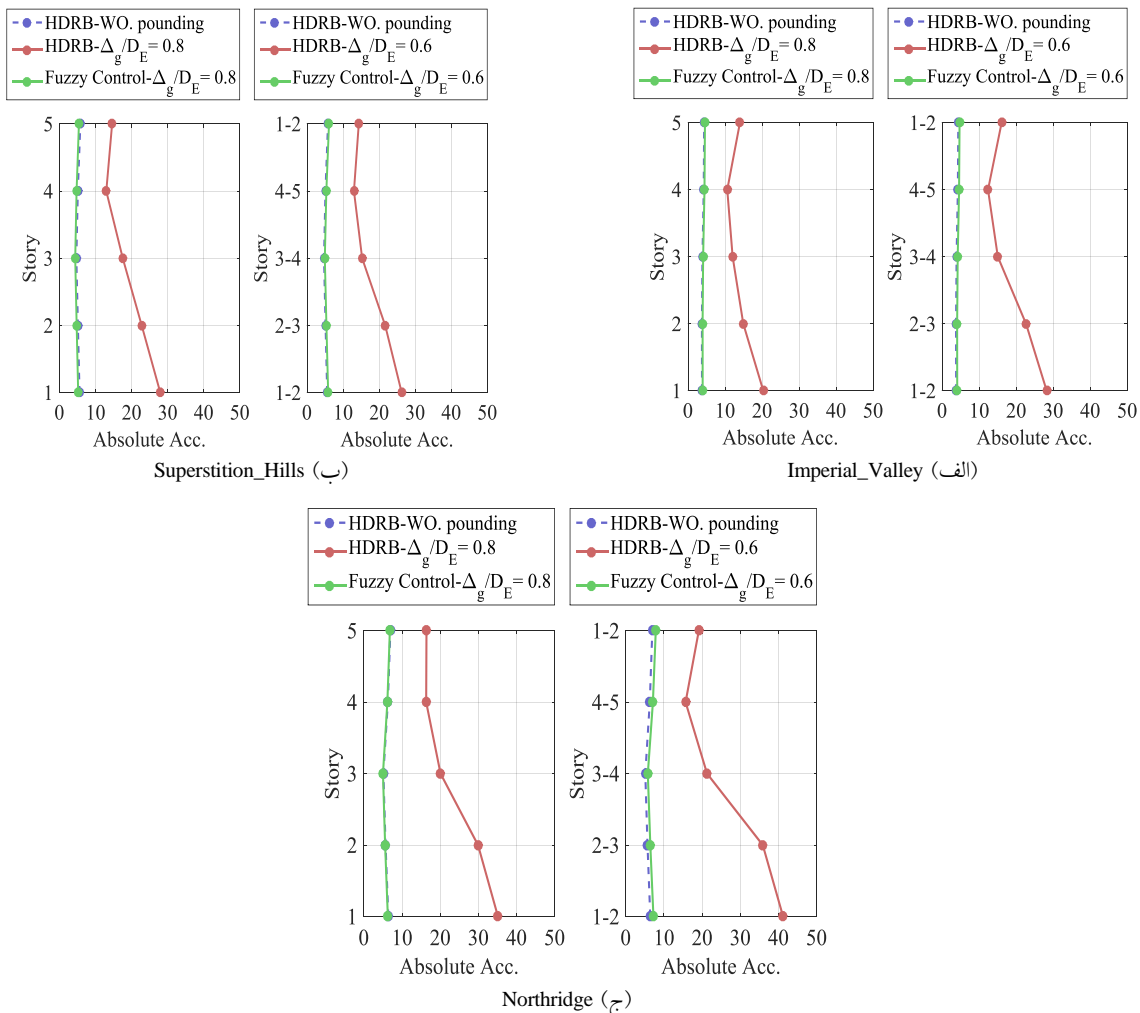


نیمهفعال کاهش یافته است. به طور میانگین بیشینه شتاب و جابجایی نسبی طبقات برای فضای نسبی $0/8$ در همه زلزله‌های به ترتیب برابر $4/7$ و $1/8$ نسبت به سازه بدون در نظرگیری مانع حرکتی افزایش داشته است. این مقادیر در حالت دوم با فضای نسبی $0/6$ به ترتیب برابر $5/6$ و $2/3$ می‌باشد. در شکل (۴) تاریخچه زمانی مقادیر شتاب در تراز جداسازی سازه جداسازی شده در حالت با در نظرگیری مانع حرکتی در فاصله نسبی $0/8$ و بدون آن نشان داده شده است. همانطور که مشخص است سازه جداسازی شده که با مانع حرکتی برخورد نموده است شتاب بسیار زیادی را تجربه کرده است که این امر می‌تواند باعث خسارت‌های زیادی بهخصوص به تجهیزات غیر سازه‌ای شود. همچنین سیستم کنترلی نیمهفعال توانسته مانع از برخورد سازه جداسازی به مانع شود در عین حال شتاب بیشینه سازه را افزایش ندهد.

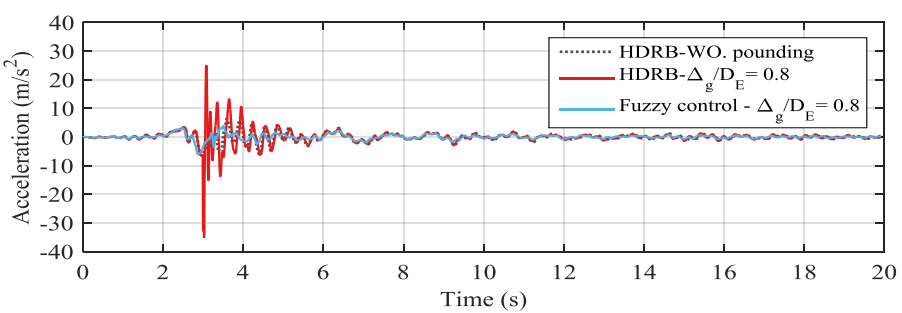
در شکل‌های (۵) و (۶) مقدار بیشینه جابجایی نسبی و شتاب طبقات در مدل‌های مختلف نشان داده شده است. در این شکل‌ها سازه جداسازی که برای آن محدودیت حرکتی، HDRB-WO. pounding در نظر گرفته نشده است با (HDRV-WO)، HDRB- $\Delta g/DE$ (Fuzzy control- $\Delta g/DE$) و سازه جداسازی با سیستم کنترلی نیمهفعال بهینه شده با (Fuzzy control- $\Delta g/DE$) نمایش داده شده است. همانطور که بیان شد مقادیر بدست آمده برای دو فاصله نسبی $\Delta g/DE = 0/6$ و $0/8$ ($\Delta g/DE = 0/6$ و $0/8$) نشان داده شده است. همانطور که مشخص است پاسخ‌های لرزه‌ای در سازه‌ای که در آن برخورد ریخ داده است به شدت افزایش یافته است. مقادیر پاسخ سازه در سازه بدون مانع حرکتی و در سازه‌ای که در آن سیستم کنترل نیمهفعال قرار گرفته شده تا از برخورد سازه جلوگیری نماید، تا حدودی به هم نزدیک می‌باشد و همچنین در برخی مواقع مقادیر آن در سازه با سیستم کنترل



شکل ۷- بیشینه جابجایی نسبی طبقات در سازه جداسازی شده با و بدون سیستم کنترلی نیمهفعال تحت سه زلزله



شکل ۸- بیشته شتاب در طبقات در سازه جداسازی شده با و بدون سیستم کنترلی نیمهفعال تحت سه زلزله



شکل ۹- نمودار تاریخچه زمانی شتاب در تراز جداسازی شده با و بدون سیستم میراگر نیمهفعال در زلزله Northridge با در نظر گیری فضای نسبی ۰/۸ در اطراف سازه

تراز جداسازی از فضای باز در نظر گرفته شده در اطراف سازه شود که باعث ایجاد برخورد در سازه خواهد شد. کاهش پراکندگی پاسخ‌های لرزه‌ای، دارای اهمیت بالایی در کاهش احتمال خرابی در جداسازها و یا برخورد سازه با ساختمان‌های اطراف دارد. از این رو نمودارهای تابع چگالی احتمال توزیع

در طراحی سیستم‌های جداسازی که بطور معمول ظرفیت جابجایی جداسازها و همچنین فضای باز اطراف ساختمان جداسازی بر اساس استانداردهای طراحی بر مبنای میانگین پاسخ‌های مربوط به زلزله‌های انتخاب شده تعیین می‌شود. حال آنکه پراکندگی در پاسخ می‌تواند باعث پیشی گرفتن جابجایی



مقادیر u_1 و u_2 برابر مقادیر پاسخ‌ها دو راستای اصلی سازه برای بیشینه جابجایی نسبی طبقات به و همچنین جابجایی تراز جداسازی در نظر گرفته شده است.

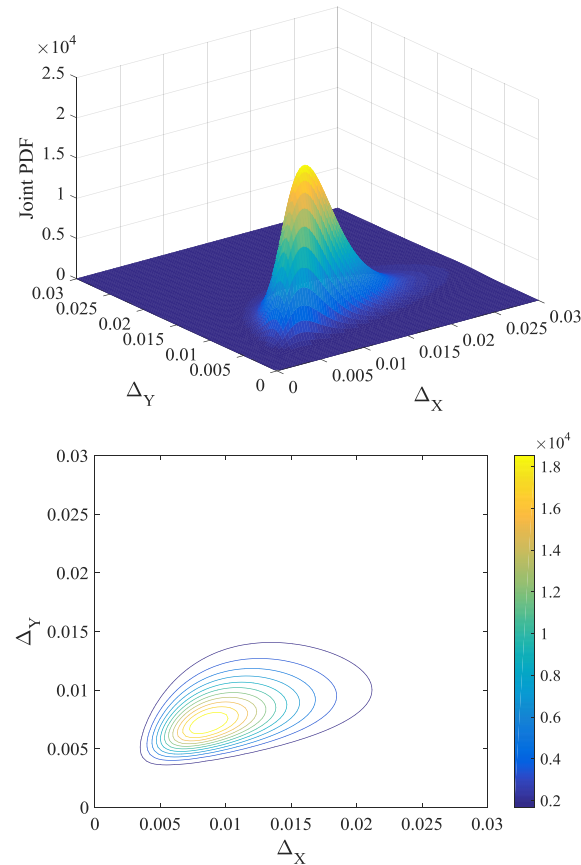
در شکل (۱۰) نمودارهای تابع چگالی احتمال توزیع لگاریتم نرمال برای بیشینه جابجایی نسبی طبقات و جابجایی تراز جداسازی برای سازه شده بدون سیستم کنترلی که دارای محدودیت حرکتی است و سازه جداساز شده با میراگر MR و الگوریتم کنترلی فازی بهینه شده نشان داده شده است. این نمودارها با استفاده از تحلیل‌های صورت گرفته بر روی سازه و همچنین در نظرگیری یک توزیع لگنرمال برای بیشینه شتاب رکورد زلزله بدست آمده است. همانطور که از نمودارهای تابع چگالی مشخص است سیستم کنترلی نیمه‌فعال به مقدار زیادی از پراکندگی و میانگین پاسخ‌های لرزه‌ای کاسته است که این امر به طور مستقیم باعث کاهش احتمال خرابی‌ها در سازه خواهد شد.

لگاریتم نرمال پاسخ‌های لرزه‌ای می‌تواند دید خوبی در این رابطه فراهم نماید. با توجه به اینکه تحلیل‌های انجام شده در دو راستا انجام شده است، برای دو متغیر که دارای توزیع لگاریتم می‌باشند، تابع چگالی احتمال توزیع لگاریتم نرمال از رابطه‌های (۶) و (۷) بدست خواهد آمد [۲۴]

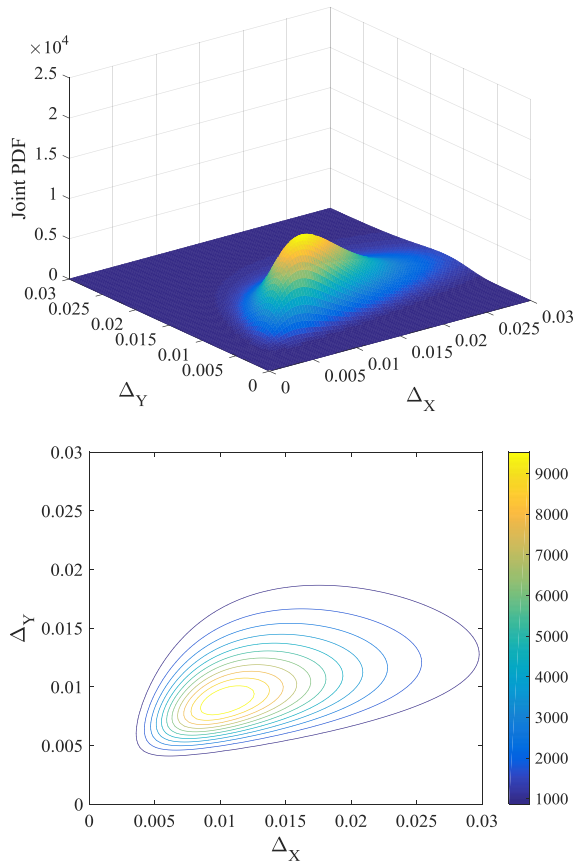
$$f(u_1, u_2) = \frac{1}{2\pi u_1 u_2 \sigma_{U_1} \sigma_{U_2} \sqrt{1 - \rho^2}} \exp\left(-\frac{P}{2}\right) \quad (6)$$

$$\begin{aligned} P = & \frac{1}{1 - \rho^2} \left[\left(\frac{\ln u_1 - \mu_{U_1}}{\sigma_{U_1}} \right)^2 \right. \\ & - 2\rho \left(\frac{\ln u_1 - \mu_{U_1}}{\sigma_{U_1}} \right) \left(\frac{\ln u_2 - \mu_{U_2}}{\sigma_{U_2}} \right) \\ & \left. + \left(\frac{\ln u_2 - \mu_{U_2}}{\sigma_{U_2}} \right)^2 \right] \end{aligned} \quad (7)$$

در این معادله μ_U و σ_U به ترتیب میانگین و انحراف معیار و مقدار $U = \ln u$ و ρ برابر ضریب همبستگی می‌باشند. در اینجا



(ب) با سیستم کنترلی نیمه‌فعال بهینه شده



(الف) بدون میراگر و با در نظرگیری مانع حرکتی

شکل ۱۰- نمودار تابع چگالی احتمال توزیع لگاریتم نرمال بیشینه جابجایی نسبی طبقات سازه جداسازی شده

۶- نتیجه‌گیری

در سازه‌های جداسازی شده به دلایل مختلف از جمله عدم قطعیت‌ها در سازه، تغییرات آئین‌نامه‌های طراحی و یا تغییرات مشخصات لرزه‌ای منطقه این احتمال وجود دارد که فضای خالی در نظر گرفته شده در اطراف سازه برای حرکت ساختمان در هنگام زلزله کافی نباشد. از این رو لازم است در موارد مورد نیاز با استفاده از راهکاری مناسب احتمال برخورد سازه با موانع اطراف خود کاهش داده شود. به کارگیری سیستم‌های میراکنده ارزی غیرفعال برای کاهش جابجایی تراز جداسازی به جهت عدم انطباق‌پذیری با ویژگی‌های لرزه‌ای در هر زلزله می‌تواند باعث افزایش پاسخ‌های لرزه‌ای در سازه شود. به طور معمول این میراگرها برای شدیدترین زلزله‌های محتمل طراحی می‌گردند که این امر می‌تواند باعث اعمال نیروی بیش از حد نیاز سازه در زلزله‌های خفیفتر شود و عملکرد مورد انتظار از سازه جداسازی شده را تقلیل دهد. محدود کردن جابجایی تراز جداسازی در سازه‌های جداسازی شده برای دستیابی به طرحی بهینه و اجرایی یکی از چالش‌های طراحی سازه‌های جداسازی شده می‌باشد. این موضوع در نواحی نزدیک به گسل به تاثیر قابل توجه زلزله‌های حوزه نزدیک، به خصوص رکوردهایی که در آنها پالس‌های سرعت وجود دارد، حائز اهمیت خواهد بود.

- توزیع لگاریتم نرمال پاسخ‌های سازه، مقادیر میانگین و پراکنده‌گی پاسخ‌ها در سازه مجهر به میراگر نیمه‌فعال در مقایسه با سازه جداسازی شده بدون میراگر کاهش یافته است که این امر بصورت مستقیم در کاهش خرابی‌های محتمل آینده سازه تاثیر خواهد گذاشت.
- ۷- مراجع
- [1] Bhagat, S., Wijeyewickrema, A.C. and Subedi, N. (2018), "Influence of near-fault ground motions with fling-step and forward-directivity characteristics on seismic response of base-isolated buildings", *Journal of Earthquake Engineering*, Vol. 25, pp. 455-474.
 - [2] Alhan, C. and Öncü-Davas, S. (2016), "Performance limits of seismically isolated buildings under near-field earthquakes", *Engineering Structures*, Vol. 116, pp. 83-94.
 - [3] Kitayama, S. and Constantinou, M.C. (2018), "Collapse performance of seismically isolated buildings designed by the procedures of ASCE/SEI 7", *Engineering Structures*, Vol. 164, pp. 243-258.
 - [4] Polycarpou, P.C. and Komodromos, P. (2010), "Earthquake-induced pounding of a seismically isolated building with adjacent structures", *Engineering Structures*, Vol. 32, pp. 1937-1951.
 - [5] Bao, Y., Becker, T.C., Sone, T. and Hamaguchi, H. (2018), "To limit forces or displacements: Collapse study of steel frames isolated by sliding bearings with and without restraining rims", *Soil Dynamics and Earthquake Engineering*, Vol. 112, pp. 203-214.
 - [6] Nagarajaiah, S. and Sun, X. (2001), "Base-isolated FCC building: impact response in Northridge earthquake", *Journal of Structural Engineering*, Vol. 127, pp. 1063-1075.
 - [7] Mavronicola, E.A., Polycarpou, P.C. and Komodromos, P. (2017), "Spatial seismic modeling of base-isolated buildings pounding against moat walls: effects of ground motion directionality and mass eccentricity", *Earthquake Engineering & Structural Dynamics*, Vol. 46, pp. 1161-1179.
 - [8] Pant, D.R. and Wijeyewickrema, A.C. (2012), "Structural performance of a base-isolated reinforced concrete building subjected to seismic pounding", *Earthquake Engineering & Structural Dynamics*, Vol. 41, pp. 1709-1716.
 - [9] Wolff, E., Ipek, C., Constantinou, M. and Tapan, M. (2015), "Effect of viscous damping devices on the response of seismically isolated structures", *Earthquake Engineering & Structural Dynamics*, Vol. 44, pp. 185-198.
 - [10] Wen, Y.K. and Shinozuka, M. (1998), "Cost-Effectiveness in Active Structural Control", *Engineering Structures*, Vol. 20, pp. 216-221.
 - [11] ANSI, A. 360-16, (2016), *Specification for structural steel buildings*.
 - [12] American Society of Civil, E., (2017), Minimum design loads and associated criteria for buildings and other structures: ASCE/SEI 7-16.
 - [13] McKenna, F., Fenves, G. and Scott, M. (2006), Computer program OpenSees: open system for earthquake engineering simulation.



- [14] Kikuchi, M., Aiken, I.D. and Kasalanati, A. (2012), "Simulation analysis for the ultimate behavior of full-scale lead-rubber seismic isolation bearings", In 15th world conference on earthquake engineering, Vol. 24, pp. 1-10.
- [15] MATLAB and statistics toolbox release, (2015b), The MathWorks, Inc, Natick, Massachusetts, United States.
- [16] FEMA, P., (2012), 58. Next-generation methodology for seismic performance assessment of buildings, Applied Technology Council for the Federal Emergency Management Agency, Vol. 2.
- [17] Ismail, M., Ikhouane, F. and Rodellar, J. (2009), "The hysteresis bouc-wen model, a survey", Archives of Computational Methods in Engineering, Vol. 16, pp. 161-188.
- [18] Yang, M.-G., Chen, Z.-Q. and Hua, X.-G. (2011), "An experimental study on using MR damper to mitigate longitudinal seismic response of a suspension bridge", Soil Dynamics and Earthquake Engineering, Vol. 31, pp. 1171-1181.
- [19] Zadeh, L.A., (1965), "Fuzzy sets", Information and control, Vol. 8, pp. 338-353.
- [20] Garzón-Roca, J., Marco, C.O. and Adam, J.M. (2013), "Compressive strength of masonry made of clay bricks and cement mortar: Estimation based on Neural Networks and Fuzzy Logic", Engineering Structures, Vol. 48, pp. 21-27.
- [21] Choi, K.M., Cho, S.W., Jung, H.J. and Lee, I.W. (2004), "Semi-active fuzzy control for seismic response reduction using magnetorheological dampers", Earthquake engineering & structural dynamics, Vol. 33, pp. 723-736.
- [22] Wang, A.P. and Lee, C.D. (2002), "Fuzzy sliding mode control for a building structure based on genetic algorithms", Earthquake engineering & structural dynamics, Vol. 31, pp. 881-895.
- [23] Yan, X., Xu, Z.-D. and Shi, Q.-X. (2020), "Fuzzy neural network control algorithm for asymmetric building structure with active tuned mass damper", Journal of Vibration and Control, Vol. 26, pp. 2037-2049.
- [24] Klein, L. (1957), "The Lognormal Distribution", JSTOR.

